

分散処理システムにおける遠隔地支援に関する一考察

田中正二、浅野正一郎、水町守志、野村民也
(東京大学宇宙航空研究所)

1. はじめに

近年、特産の広域組織内あるいは組織間における迅速な業務処理が分散処理システムによって一般化されるにつれて、その高信頼化・障害対策が各方面から検討され始めている。

ここでは、システム内のダウンしたホストが本来担務すべき業務を、他の正常なホストが代行するという遠隔地支援モデルについて、アベイラビリティ・ターンアラウンドタイム(業務処理の平均時間)に対する基礎的な検討を加える。

2. 遠隔地支援モデル

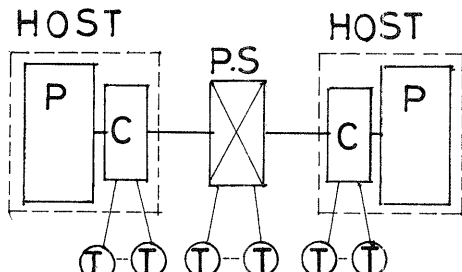


図 1

対象とする分散処理システムは各ホストが P マシン(業務処理)・C マシン(通信制御)より構成され、端末は C マシンあるいは直接回線に接続されるものを想定している(図 1)。

またここでオフライン処理は考えず、すべてのエンドユーザーは各端末・C マシンを経てサービスを受けるオンライン処理に限定して検討を進める。

以下 3種類の遠隔地支援モデルの説明に先立ち、次の仮定を置く。

- (1) 回線には障害が発生しない。
- (2) P マシンは業務処理のみを行い、処理ホスト選択・通信制御は C マシンの~~組~~務とする。
- (3) P・C マシンに関し、一方の障害は他方に影響を与えない。
- (4) C マシンによる処理ホストの選択は瞬時に実行される。

2-1 モデル 1

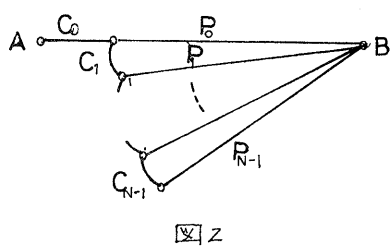
モデル 1 では、各ジョブは 2 台のホストで処理される。すなわち、エンドユーザーによってあるホスト(自ホスト)が選択されると、次に自ホストの C マシンがシステム内の他の正常なホスト(他ホスト)を選択し両ホストによって処理が実行されるモデルである。

このモデルの処理モードとしては、

- (a) 自・他両ホスト、
- (b) 他ホストのみ、
- (c) 自ホストのみ、

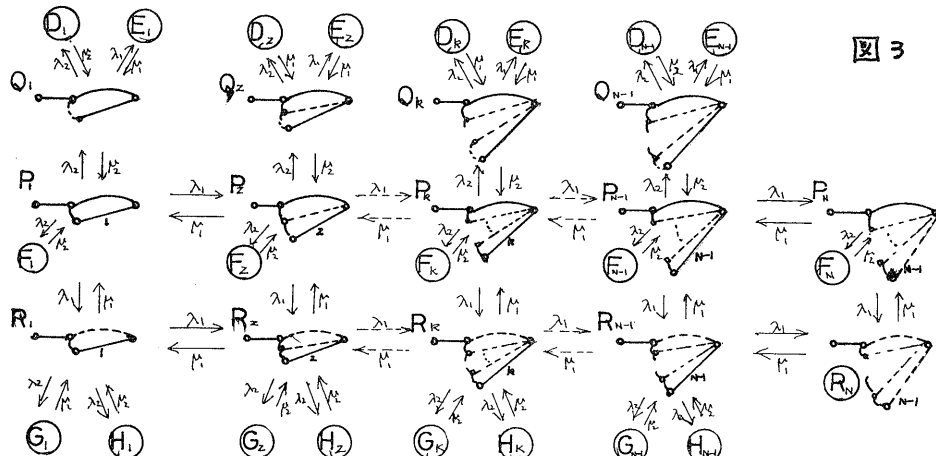
による 3通りの形態が存在する。

次にモデル解析の際必要となるモデルの状態表示について説明する。図 2 はモデル 1 の状態を有向グラフで表示したものである。システムが正常(Operational)



C_i ($1 \leq i \leq N-1$) : オン番目に選択された木ストのCマシンの状態を示している。)

上述の有向グラフを用いて状態推移図を描くと下図のようになる。



(但し、○で囲まれた状態は故障状態である。

2-2 モデル2

モデル2は、特定のホストをバックアップ専用とし、自ホストのPマシンがダウンするときにバックアップホストが処理を代行するシステムモデルである。処理モードとしては、

(a) 自ホスト、
(b) バックアップ
ホスト、
によるZ形態が存在する。

モデル2の状態推移図を図4に示す。

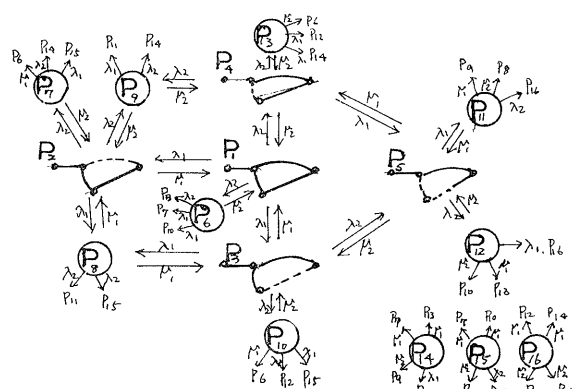


図4

Z-3 モデル3

モデル3はモデル2の拡張と考えられ、自ホストがダウンした場合に処理を行ふるバックアップホストを、正常な他ホストの中から動的に選択するシステムモデルである。

処理モードはモデル2と同様であるが、モデル3の場合はバックアップホストが複数台存在していることが期待されるので、モデル2と比較してアベイラビリティは向上するものと考えられる。

図5にモデル3の状態遷移図を示す。

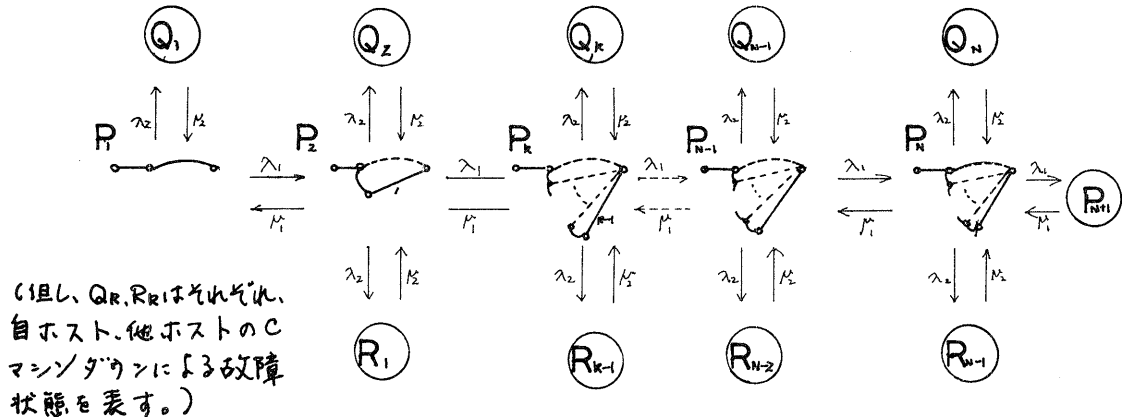


図5

3 モデル解析

各モデルについて状態遷移図を基に、アベイラビリティ・ターンアラウンドタイム(業務処理の平均時間)を求める。

3-1 アベイラビリティ

これはアベイラビリティとは、特定ホスト(自ホスト)が、他ホストを援用する場合も含めて、業務処理を行える状態である確率をさす。

アベイラビリティをA、既出の状態遷移図においてシステムダウンである状態の集合をSF、状態 S_k である確率を $P_f(S_k)$ で表わせば、

$$A = 1 - P_f(SF) \quad (1)$$

となる。

以下各モデルについて、正常状態におけるアベイラビリティを求める。

3-1-1 モデル1

図3より、モデル1の状態方程式は次のようになる。

$$Z(\lambda_1 + \lambda_2)P_1 = \mu_1 P_2 + \mu_2 Q_1 + \mu_1 R_1 + \mu_2 F_1 \quad (2)$$

$$(Z\lambda_1 + Z\lambda_2 + \mu_1)P_k = \lambda_1 P_{k-1} + \mu_1 R_{k-1} + \mu_2 Q_k + \mu_1 R_k + \mu_2 F_k \quad (Z \leq k \leq N-1) \quad (3)$$

$$(\lambda_1 + \lambda_2 + \mu_1)P_N = \lambda_1 P_{N-1} + \mu_1 R_N + \mu_2 F_N \quad (4)$$

$$(\lambda_1 + Z\lambda_2 + \mu_1)R_k = \mu_1 R_2 + \lambda_1 P_1 + \mu_2 G_1 + \mu_2 H_1 \quad (5)$$

$$(\lambda_1 + Z\lambda_2 + Z\mu_1)R_R = \lambda_1 R_{N-1} + \mu_1 R_{N+1} + \lambda_1 P_R + \mu_2 G_R + \mu_2 H_R \quad (Z \leq R \leq N-1) \quad (6)$$

$$\mu_1 R_N = \lambda_1 R_{N+1} + \lambda_1 P_N \quad (7)$$

$$(\lambda_1 + \lambda_2 + \mu_2)Q_k = \lambda_2 P_R + \mu_2 D_R + \mu_1 E_R \quad (1 \leq k \leq N-1) \quad (8)$$

$1 \leq k \leq N-1$ について、

$$\mu_2 D_k = \lambda_2 Q_k \quad (9)$$

$$\mu_2 G_k = \lambda_2 R_k \quad (11)$$

$$\mu_2 E_k = \lambda_1 Q_k \quad (10)$$

$$\mu_2 H_k = \lambda_2 R_k \quad (12)$$

$$\text{また、 } 1 \leq k \leq N \text{ かつ } 11 \leq k \leq 12 \text{ のとき } \mu_2 F_k = \lambda_2 P_k \quad (13)$$

が成り立つ。ただし、 $\lambda_1, \lambda_2, \mu_1, \mu_2$ はそれぞれ P・C マシンの故障率・修理率である。

P_k を求めると、($P_1 = \lambda_1 / \mu_1, P_2 = \lambda_2 / \mu_2$ とする。)

$$\therefore P_k = P_1^{k-1} \cdot P_2 \quad (14)$$

となり、

$$\sum_{k=1}^N (P_k + R_k + F_k) + \sum_{k=1}^{11} (Q_k + D_k + E_k + G_k + H_k) = 1, \quad (15)$$

を用いて P_1 は次のように表される。

$$\therefore P_1 = (1 - P_1) / \left\{ (1 + \lambda_2)^2 + P_1 (1 + 3 \lambda_2) - (\lambda_1^2 + \lambda_2^2 + 4 \lambda_1 \lambda_2 + \lambda_1 + \lambda_2) \cdot P_1^{N-1} \right\} \quad (16)$$

モデル 1 のアベイテビリティ A_1 は、

$$A_1 = 1 - P_1 (SF)$$

$$= \sum_{k=1}^{N-1} (P_k + Q_k + R_k) + P_N$$

$$= \{(1 + \lambda_1 + \lambda_2) - (2 \lambda_1 + \lambda_2) P_1^{N-1}\} / \left\{ (1 + \lambda_2)^2 + P_1 (1 + 3 \lambda_2) - (\lambda_1^2 + \lambda_2^2 + 4 \lambda_1 \lambda_2 + \lambda_1 + \lambda_2) P_1^{N-1} \right\}$$

と表される。

3-1-2 モデル 2

図 4 より、モデル 2 の状態方程式は次のようになる。

$$Z(\lambda_1 + \lambda_2) P_1 = \mu_1 P_1 + \mu_2 P_2 + \mu_1 P_3 + \mu_2 P_4 \quad (18)$$

$$(\lambda_1 + 2 \lambda_2 + \mu_1) P_2 = \lambda_1 P_1 + \mu_1 P_3 + \mu_2 P_4 + \mu_2 P_5 \quad (19)$$

$$(\lambda_1 + 2 \lambda_2 + \mu_1) P_3 = \lambda_1 P_1 + \mu_1 P_4 + \mu_2 P_5 + \mu_2 P_6 \quad (20)$$

$$(2 \lambda_1 + \lambda_2 + \mu_1) P_4 = \lambda_2 P_1 + \mu_1 P_5 + \mu_2 P_6 + \mu_2 P_7 \quad (21)$$

$$(\lambda_1 + \lambda_2 + \mu_1 + \mu_2) P_5 = \lambda_1 P_4 + \lambda_2 P_3 + \mu_1 P_6 + \mu_2 P_7 \quad (22)$$

$$(2 \lambda_1 + \lambda_2 + \mu_2) P_6 = \lambda_2 P_4 + \lambda_1 P_5 + \mu_1 P_7 + \mu_2 P_8 \quad (23)$$

$$(\lambda_1 + \lambda_2 + \mu_1 + \mu_2) P_7 = \lambda_2 P_5 + \lambda_1 P_6 + \mu_1 P_8 + \mu_1 P_9 \quad (24)$$

$$Z(\lambda_2 + \mu_1) P_8 = \lambda_1 P_6 + \lambda_1 P_9 + \mu_2 P_{10} + \mu_2 P_{11} \quad (25)$$

$$(\lambda_1 + \lambda_2 + \mu_1 + \mu_2) P_9 = \lambda_2 P_7 + \lambda_1 P_8 + \mu_1 P_{11} + \mu_2 P_{12} \quad (26)$$

$$(\lambda_1 + \lambda_2 + \mu_1 + \mu_2) P_{10} = \lambda_2 P_8 + \lambda_1 P_9 + \mu_1 P_{12} + \mu_2 P_{13} \quad (27)$$

$$(\lambda_2 + Z \mu_1 + \mu_2) P_{11} = \lambda_1 P_8 + \lambda_2 P_9 + \lambda_1 P_{13} + \mu_2 P_{14} \quad (28)$$

$$(\lambda_1 + \mu_1 + 2 \mu_2) P_{12} = \lambda_2 P_9 + \lambda_2 P_{10} + \lambda_1 P_{13} + \mu_1 P_{16} \quad (29)$$

$$Z(\lambda_1 + \mu_2) P_{13} = \lambda_2 P_{10} + \lambda_2 P_{11} + \lambda_1 P_{14} + \mu_1 P_{15} \quad (30)$$

$$(\lambda_1 + 2 \mu_1 + \mu_2) P_{14} = \lambda_1 P_{11} + \lambda_2 P_{12} + \lambda_1 P_{13} + \mu_1 P_{16} \quad (31)$$

$$(\lambda_2 + Z \mu_1 + \mu_2) P_{15} = \lambda_1 P_{12} + \lambda_2 P_{13} + \lambda_1 P_{14} + \mu_2 P_{16} \quad (32)$$

$$Z(\mu_1 + \mu_2) P_{16} = \lambda_2 P_{11} + \lambda_1 P_{12} + \lambda_1 P_{13} + \lambda_2 P_{15} \quad (33)$$

また、モデル 2 のアベイテビリティ A_2 は、

$$A_2 = \sum_{k=1}^N P_k, \quad (34)$$

と表される。

3-1-3 モデル 3

図 5 より、モデル 3 の状態方程式は以下のようになる。

$$(\lambda_1 + \lambda_2) P_1 = \mu_2 P_2 + \mu_2 Q_1. \quad (35)$$

$2 \leq k \leq N$ のとき、

$$(\lambda_1 + 2 \lambda_2 + \mu_1) P_k = \lambda_1 P_{k-1} + \mu_1 P_{k+1} + \mu_2 Q_k + \mu_2 R_k \quad (36)$$

$$P_1 P_{k+1} = \lambda_1 P_N \quad (37)$$

$$P_2 Q_k = \lambda_2 P_k \quad (1 \leq k \leq N) \quad (38)$$

$$P_2 R_k = \lambda_2 P_{k+1} \quad (1 \leq k \leq N-1). \quad (39)$$

P_k を求めるに、

$$\therefore P_k = P_1^{k-1} \cdot P_1 \quad (40)$$

となり、 P_1 は、

$$\sum_{k=1}^{N-1} P_k + \sum_{k=1}^N Q_k + \sum_{k=1}^N R_k = 1 \quad (41)$$

により、

$$\therefore P_1 = (1 - P_1) / \{ (1 + P_2 + P_1 P_2) - (P_1 + 2P_2) P_1^N \} \quad (42)$$

と求まる。またアベイラビリティ A_3 は下のようになる。

$$A_3 = \sum_{k=1}^N P_k \\ = (1 - P_1^N) / \{ (1 + P_2 + P_1 P_2) - (P_1 + 2P_2) P_1^N \}. \quad (43)$$

3-2 ターンアラウンドタイム

ここで「ターンアラウンドタイム」とは、エンドユーザーがジョブを入力してから結果を受け取るまでの時間の平均値とする。ターンアラウンドタイムを T とすれば、 $T = (\text{業務処理時間}) + (\text{通信時間}) + (\text{制御時間})$ 、と記述される。

ここで「業務処理時間」とは、処理を受けるホストの処理待ち行列に並んでから処理が終了するまでの時間であり、通信時間とは他ホストで処理をする場合に要するジョブの転送時間であり、制御時間とは他ホスト選択・ホスト切換に要する時間を表す。2章の仮定(4)により、ここで「制御時間」は0として解析を進める。

業務処理時間(以下な)は、当該ホストで処理すべきジョブの到着率(以下 α) [ジョブ/sec]・マシンの処理能力を C_p [ジョブ/sec]、サービス率を $\alpha \cdot C_p$ [ジョブ/sec]として各マシンによる処理が $M/M/1$ の待ち行列だと仮定すれば、なは

$$n = 1 / \{ \alpha \cdot C_p (1 - \alpha / \alpha \cdot C_p) \} \quad [\text{sec/ジョブ}] \quad (44)$$

で与えられる。処理中のジョブも含め各マシンの平均待ち行列長 L は、

$$L = \alpha / (\alpha \cdot C_p - \alpha) \quad (45)$$

であり、システム全体の総ジョブ数 J 、正常なホスト(P・C両マシン正常)数 K で近似的に、

$$L = J / K \quad (46)$$

と表せると仮定する。この際、ホスト間ではジョブが均等に分配されているとする。また、 k 台正常時の各ホストの負荷率を β_k とし、

$$\beta_k = J / (K \cdot C_p) \quad (47)$$

であるように定義する。

以上から、

$$\alpha = \alpha C_p^2 \beta_k / (1 + C_p \beta_k) \quad (48)$$

となり、(48)式を(44)式へ代入して、

$$t_f = (1/C_p + \beta_k) / \alpha \quad (49)$$

となり、 k 台正常時のホストの負荷率・マシンの処理能力・サービス率が得られれば、(49)式によってなが求められる。

また通信時間(以下な)は、転送すべきジョブ長を L 、回線の伝送速度を r とすれば、 $t_c = L / r$ で与えられるものとする。

以下各モデルについてターンアラウンドタイム T_k ($1 \leq k \leq 3$) を求める。

3-Z-1 モデル1

モデル1では自・他両ホストで処理を行うため、システム内に停在する全ジョブ数は等価的に他モデルの2倍になることを想定し、各マシンの負荷率は2倍になると仮定する。また、処理モード(a)両ホストによる処理の場合、自ホストによる処理時間をもつターンアラウンドタイムとす。

ここで、正常なホスト数がkの時のものを $t_j(k)$ と表示すると、モデル1では、

$$t_j(k) = t_{j0} + \theta_k/2\alpha \quad (50)$$

とおり、図3の各正常な状態 $P_1 \sim P_N, Q_1 \sim Q_{N-1}, R_1 \sim R_{N-1}$ におけるターンアラウンドタイムを $T_c(S_k)$ (S_k は上述の任意の状態)と表示すると、

$$T_c(P_k) = t_{j0}(N-k+1) \quad (1 \leq k \leq N) \quad (51)$$

$$T_c(Q_k) = t_{j0}(N-k) \quad (1 \leq k \leq N-1) \quad (52)$$

$$T_c(R_k) = t_{j0}(N-k) + (k+1)t_c + \sum_{i=1}^{k-1} t_{j0}(N-i) \cdot R_i/Z \quad (2 \leq k \leq N-1) \quad (53)$$

$$T_c(R_1) = t_{j0}(N-1) + Zt_c \quad (54)$$

と記述することができる。この時モデル1のターンアラウンドタイム T_1 は、

$$T_1 = \sum_{k=1}^N T_c(P_k) \cdot P_k + \sum_{k=1}^N \{ T_c(Q_k) \cdot Q_k + T_c(R_k) \cdot R_k \} \quad (55)$$

となる。

3-Z-2 モデル2

システム全体の総ホストN台のうちバックアップホストはB台存在する場合、モデル2のターンアラウンドタイム T_2 は図4を参照して、

$$T_c(P_1) = T_c(P_3) = T_c(P_4) = T_c(P_5) = t_{j0}(N-B) \quad (56)$$

$$T_c(P_2) = t_{j0}(N-B) (P_1/Z + 1) + 2t_c \quad (57)$$

となる。ただし、(49)式で与えられるものとする。 T_2 は、

$$T_2 = \sum_{k=1}^5 T_c(P_k) \cdot P_k \quad (58)$$

で与えられる。

3-Z-3 モデル3

モデル3のターンアラウンドタイム T_3 は図5を参照し、

$$T_c(P_1) = t_{j0}(N) \quad (59)$$

$$T_c(P_k) = t_{j0}(N-k+1) + k t_c + \sum_{i=1}^{k-1} t_{j0}(N-i+1) \cdot P_i/Z \quad (2 \leq k \leq N) \quad (60)$$

と与えられることが、 T_3 は

$$T_3 = \sum_{k=1}^N T_c(P_k) \cdot P_k = T_c(P_1) P_1 + \sum_{k=2}^N T_c(P_k) \cdot P_k \quad (61)$$

となる。

4 数値例

前章で述べたアベイラビリティとターンアラウンドタイムについて数値例を示す。ただし全ホストの特性は等しく、エンドユーザーはある特定のホストに集中することなくシステムの全ホストを均等に利用すると仮定する。

4-1 アベイラビリティ

$\lambda_1 = 0.01, \lambda_2 = 0.001, \mu_1 = \mu_2 = \lambda_1 M, P_1/P_2 = \lambda_2/\lambda_1$ を変数とした時の各アベイラビリティ AR を图6に示す。

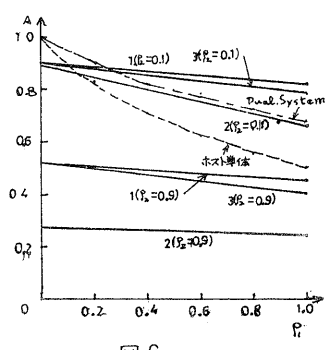


図6

また図9には、モデル1、3を対象に、輸ホスト数Nを変数としてZAを求めたものを示す。

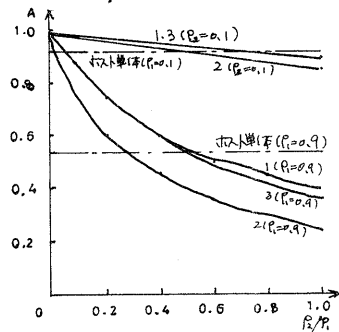


図7

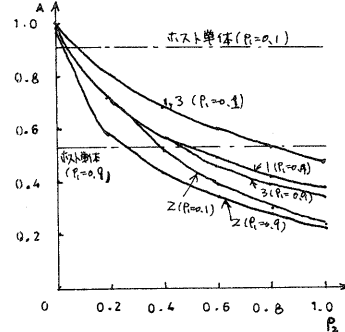


図8

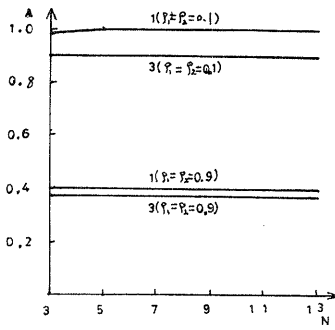


図9

4-Z ターンアラウンドタイム

各モデルに対し、 $\alpha=1$ 、 $C_p=10$ 、 $P_N=0.5$ の場合のターンアラウンドタイム T を、 P_2/P_1 、 N 、および $t_0 = t_{\text{in}}(N)$ と t_0/t_{in} を変数として求めた結果をそれぞれ図10、11、12に示す。(モデルズのバックアップホスト数は1、 $N=12$ とする。)

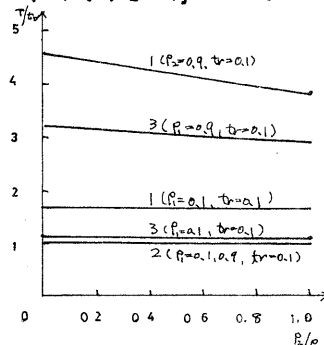


図10

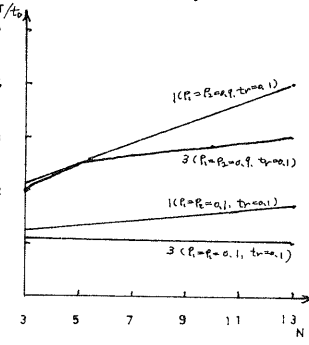


図11

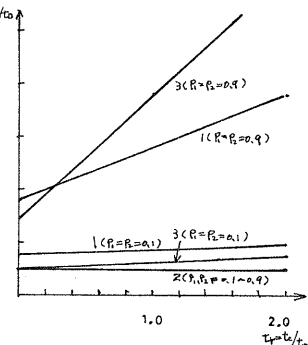


図12

5 考察

(i) アベイアビリティ

• P_1, P_2 の寄与

図6、8にホスト単体のアベイアビリティを $P_1=0.1, 0.9$ の各場合について破線で示す。これより各モデルがホスト単体時と比較してアベイアビリティの点で改善される領域は、

モデル1: $P_1=0.1$ 時、 $P_2 \leq 0.1$ 、 $P_1=0.9$ 場合、 $P_2 \leq 0.5$

モデルズ: " " , $P_2 \leq 0.05$, " , $P_2 \leq 0.3$

モデル3: " " , $P_2 \leq 0.1$, " , $P_2 \leq 0.46$

といふ。一般に $P_1, P_2 \leq 0.01$ が成立する場合が多く、各モデルともホスト単体時よりアベイアビリティの点で改善されていふと言える。

• N の寄与

モデル1、3については、それらが式(17)、(43)より、 N が十分大きな領域では次のように近似されることが

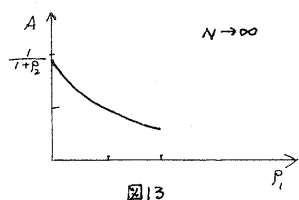


図13

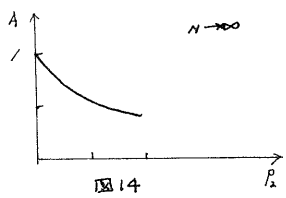


図14

わかる。すなはち、

$$N \rightarrow \infty \text{ の場合, } A_1 \rightarrow (1 + P_1 + P_2) / \{(1 + P_2)^2 + P_1(1 + 3P_2)\} \quad (62)$$

$$A_3 \rightarrow 1 / (1 + P_2 + P_1 P_2) \quad (63)$$

となる。この時、総ホスト数Nはアベイラビリティに無関係となり、 P_1, P_2 によらずアベイラビリティが定められる（図13、14）。図9より、 $N \geq 10$ でアベイラビリティほぼ飽和する様子がわかる。

（ii）ターンアラウンドタイム

ターンアラウンドタイムTは図10、11、12から分かるように、 P_1, P_2, N 特に N に大きく変化する。特にモデル1・3において通信回数が多い場合はかの影響が著しい。

6.まとめ。

分散処理システムにおける遠隔地支援モデルを示し、アベイラビリティ・ターンアラウンドタイムについて基礎的な検討を行った。提案した3モデルのうちモデル2は専用バッファアホストを置くという点で、地モデルにおける全ホストのシステム内における役割が平等であることを與える。システムの目的にもよるが拡張性の点ではモデル1・3が優れていると思われる。

モデル1・3では総ホスト数Nが十分大きな場合、アベイラビリティはP・Cマシンの保全係数(P_1, P_2)によって定まり、特にPマシンの保全係数 P_1 が多少大きな場合でも、 P_2 の小さなCマシンの使用によると高アベイラビリティが得られることがわかる。これはP・Cマシンの部品数(ゲート数)を考慮すると、一般に $P_1 > P_2$ が成立していることから、現実的な応用が期待される。

本検討においては方式の特性を基礎的に解析するにとどまっているが、これら方式の効用をより明確に主張するには、同一条件の下での解析（例えば同一アベイラビリティの下でもターンアラウンドタイム）を必要とする。これらについては別途報告する予定である。

参考文献

- [1] MARIO J. GONZALEZ, JR. and C.V. RAMAMOORTHY, "Parallel Task Execution in a Decentralized System," IEEE Trans. on Comput., vol. C-21, pp. 1310-1322, December 1979
- [2] H.I. SHULMAN and H. SMITH, "Operational Availability and Reliability Model," IEEE Trans. on Rel., vol. R-23, pp. 290-294, December 1974
- [3] F.A. TILLMAN and S. CHATTERJEE, "Availability Models of Maintained system," IEEE, Trans. on Rel., vol. R-24, pp. 69-72, April 1975
- [4] A.L. SCHERR, "Distributed data processing," IBM SYST J. vol. 17, No. 4, pp. 324-344, 1978
- [5] M.D. BEAUDRY, "Performance-Related Reliability Measures for Computing Systems," IEEE Trans. on Comput., vol. C-27, pp. 540-547, June 1978